

## 吸光光度间接法测定痕量锰

黄典文<sup>①</sup> 张朝亮

广东工业大学化工系 广州 510090

**摘要** 在酸性介质中,过量 Fe( II) 存在下,Mn( VII) 被完全还原为 Mn( II),余下的 Fe( II) 与邻二氮菲生成桔红色的络合物,溶液的颜色随 Mn( VII) 量的增加而呈线性降低,借此建立了吸光光度间接测定 Mn 的方法,提高了灵敏度。在 510 nm 处测量,其表观摩尔吸光系数为  $4.6 \times 10^4 \text{ L} \cdot \text{mol}^{-1} \cdot \text{cm}^{-1}$ ,Mn( VII) 的质量浓度在 0~0.8 mg/L 时服从比尔定律。方法用于测定一些岩石中的 Mn 时,获得了满意的结果。

**关键词** 锰 吸光光度法 岩石

吸光光度法测定 Mn 已有专著报道<sup>[1]</sup>。常用于测定 Mn 的吸光光度法是高锰酸盐法,灵敏度较高的有 PAN 法<sup>[2]</sup>、S-Br-PADAP 法<sup>[3]</sup>等。

本文研究了以  $(\text{NH}_4)_2\text{S}_2\text{O}_8$  氧化 Mn( II) 至 Mn( VII) 后,用过量的 Fe( II) 还原 Mn( VII),利用余下的 Fe( II) 与邻二氮菲生成有色络合物间接测定 Mn。由于 1 摩尔  $\text{MnO}_4^-$  能与 5 摩尔的 Fe( II) 反应,较少量的  $\text{MnO}_4^-$  就能使络合物的颜色有明显的消褪,因而获得了较高的灵敏度,  $\epsilon$  值达  $4.6 \times 10^4 \text{ L} \cdot \text{mol}^{-1} \cdot \text{cm}^{-1}$ , 是高锰酸钾法的近 20 倍,而且也具有较好的选择性。

### 1 实验部分

#### 1.1 仪器和主要试剂

721型分光光度计(上海第三分析仪器厂)。

邻二氮菲溶液  $\rho$  为 1.5 g/L 的水溶液; HAc-NaAc 缓冲溶液(pH 4.6)。

Fe( II) 溶液 用  $\text{FeSO}_4 \cdot (\text{NH}_4)_2\text{SO}_4 \cdot 6\text{H}_2\text{O}$  配制 100 mg/L Fe( II) 的储备溶液,

0.1 mol/L  $\text{H}_2\text{SO}_4$  介质,用时稀至 20 mg/L Fe( II)。

KMnO<sub>4</sub> 标准溶液 称取分析纯 KMnO<sub>4</sub> 配制,用基准  $\text{Na}_2\text{C}_2\text{O}_4$  标定。用时稀释成 10 mg/L Mn 的工作溶液。

#### 1.2 实验方法

吸取含 Mn 量为 20.00  $\mu\text{g}$  的 KMnO<sub>4</sub> 标准溶液于 25 mL 容量瓶中,加入 5.50 mL 20 mg/L Fe( II) 溶液,摇匀。加入 5.0 mL pH 4.6 的 HAc-NaAc 缓冲溶液和 3.0 mL 1.5 g/L 的邻二氮菲溶液,用水稀至刻度,摇匀。同时做一试剂空白,然后均以水为参比,用 1 cm 比色皿,在 721 型分光光度计上于波长 510 nm 处测量吸光度。可得试剂空白与含 Mn 溶液的吸光度差值  $\Delta A$ 。

### 2 结果与讨论

#### 2.1 吸收曲线

按实验方法显色,在不同波长下测量吸光度并绘制吸收曲线如图 1。可见,吸收曲线变化与 Mn( VII) 量相关。可在 510 nm 处测定吸光度确定 Mn 量。

#### 2.2 显色条件的选择

① 黄典文 男,副教授,分析化学专业。

实验结果表明, 溶液中的 pH 值为 2.0~6.0 时测得的吸光度差值  $\Delta A$  最大且不变。本文选择 pH 4.6 的 HAc-NaAc 缓冲溶液 5.0 mL 控制溶液的酸度。

按照实验方法, 改变质量浓度  $\rho$  为 20 mg/L 的 Fe( II) 溶液的加入量。结果表明, 当 Fe( II) 溶液的用量在 5.25~5.75 mL 时, 吸光度差值  $\Delta A$  最大且基本保持不变。本文选用 5.50 mL。

改变  $\rho$  为 1.5 g/L 邻二氮菲溶液的用量, 按实验方法测定吸光度差值  $\Delta A$ 。当邻二氮菲用量大于 1.5 mL 时, 测得的吸光度差值  $\Delta A$  最大且保持稳定, 本方法选用 3.0 mL。

在确定的实验条件下, 改变反应温度进行试验。结果表明, 在 10~60 °C 时测得的吸光度差值  $\Delta A$  基本上保持稳定, 大于 60 °C 时吸光度差值略有下降, 本方法在室温下进行。

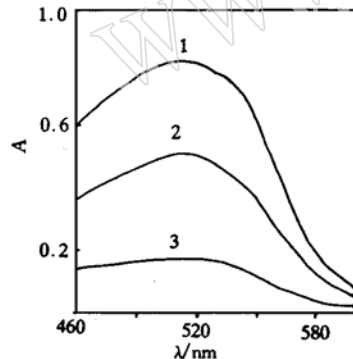


图 1 吸收曲线

- 1—试剂空白, 以水为参比;
- 2—10 μg Mn(VII), 以水为参比;
- 3—20 μg Mn(VII), 以水为参比。

### 2.3 有色络合物的稳定性

按实验方法加入各种试剂并混匀后, 有色络合物的吸光度即达最大值, 并且至少在 24 h 内保持稳定。

### 2.4 比尔定律适用范围及方法灵敏度

按实验方法绘制工作曲线, 结果表明,

Mn(VII) 的质量浓度在 0~0.8 mg/L 时符合比尔定律。由工作曲线计算得表观摩尔吸光系数达  $4.6 \times 10^4 \text{ L} \cdot \text{mol}^{-1} \cdot \text{cm}^{-1}$ 。

### 2.5 共存离子的影响

在 25 mL 的体积中, 对 20 μg Mn(VII) 进行测定, 相对误差不大于 5% 的前提下, 各种共存离子的允许量 (mg) 如下:  $\text{Na}^+$ 、 $\text{K}^+$ 、 $\text{NH}_4^+ > 100$ ,  $\text{B}(\text{III}) 22.5$ ,  $\text{Cd}^{2+} 10.4$ ,  $\text{Ca}^{2+} 7.4$ ,  $\text{Sr}^{2+} 6.5$ ,  $\text{Al}^{3+} 5.26$ ,  $\text{Mg}^{2+} 4.50$ ,  $\text{Zn}^{2+} 3.52$ ,  $\text{Bi}^{3+} 2.50$ ,  $\text{As}(\text{V}) 2.45$ ,  $\text{V}(\text{V}) 2.00$ ,  $\text{Cu}^{2+} 1.22$ ,  $\text{Ba}^{2+} 0.89$ ,  $\text{Pb}^{2+} 0.69$ ,  $\text{W}(\text{VI}) 0.55$ ,  $\text{Co}^{2+} 0.13$ ,  $\text{Ni}^{2+} 0.12$ ,  $\text{Ag}^{2+} 0.11$ ,  $\text{Mo}(\text{VI}) 0.03$ 。

$\text{Ce}(\text{IV})$  和  $\text{Cr}(\text{VI})$  对测定有干扰, 但一般矿样中 Ce 的存在可能性小, 而 Cr 可在预处理过程中通过生成易挥发的氯化铬酰除去。

表 1 样品分析结果  $w(\text{Mn}) / 10^{-2}$

试样	原含量 <sup>①</sup>	本法测定值		RSD(%)
		单次测定值	平均值	
石英斑岩 94#	0.02	0.0198	0.0192	0.0194
		0.0190	0.0194	
		0.0198	0.0194	
花岗岩 97#	0.04	0.0394	0.0399	0.0394
		0.0391	0.0393	
		0.0392	0.0392	
长斑岩 98#	0.21	0.2086	0.2077	0.2079
		0.2077	0.2082	
		0.2090	0.2062	

①广东省冶金地质研究所分析结果。

### 3 样品分析

准确称取 0.1000~0.9000 g 矿样于 100 mL 烧杯中, 用少量水润湿, 加入 4 mL 浓  $\text{HNO}_3$ , 5 mL 9 mol/L  $\text{H}_2\text{SO}_4$ , 盖上表面皿, 于电炉上加热至冒大量白烟。若溶液呈棕黑色, 再加入  $\text{HNO}_3$ , 并再加热至冒浓白烟, 直至残渣发白为止。取下冷却后, 用蒸馏水吹洗杯壁及表面皿, 然后加入 0.01 mol/L  $\text{AgNO}_3$  溶液 1.0 mL, 150 g/L  $(\text{NH}_4)_2\text{S}_2\text{O}_8$  溶液 5.0

mL, 加热至沸保持5~6 min, 取下冷却后, 移入50 mL容量瓶中, 用水稀释至刻度, 摆匀。

吸取上述部分清液于25 mL容量瓶中, 加入5.5 mL 20 mg/L Fe(II)溶液, 以下按实验方法测定消褪的吸光度差值 $\Delta A$ 。

分析结果见表1。

#### 4 参考文献

- 张孙玮, 吴水生, 刘绍璞. 有机试剂在分析化学中的应用. 北京: 科学出版社, 1983. 208.
- Z. 马钦柯著, 丘星初译. 痕量元素的分光光度测定. 赣南: 江西省赣州地区农业科学研究所, 1983. 47.
- 艾有年, 阎立荣. 环境监测新方法. 北京: 中国环境科学出版社, 1992. 228.

〈收稿日期: 1995-08-08, 修回日期: 1996-02-05〉

## Indirect Spectrophotometric Determination of Trace Manganese

Huang Dianwen, Zhang Chaoliang

( Department of Chemical Engineering, Guangdong University of Technology, Guangzhou, 510090 )

In the presence of excess Fe(II) and in acid medium, Mn(VII) is reduced completely to Mn(II). The remaining Fe(II) reacts with 1-10-phenanthroline and forms an orange-red complex in HAc-NaAc(pH 4.6). The chromogenic reaction is inversely proportional to the amount of manganese. The maximum absorption is at 510 nm and apparent molar absorptivity is  $4.6 \times 10^4 \text{ L} \cdot \text{mol}^{-1} \cdot \text{cm}^{-1}$ . Beer's law is obeyed in a range of 0~0.8 mg/L for manganese(VII). The method has been satisfactorily applied to the determination of trace manganese in rocks.

**Key words:** manganese, spectrophotometric method, rock

## 欢迎订阅《湿法冶金》

《湿法冶金》(季刊)为湿法冶金技术综合性刊物。主要刊登国内外有关有色、稀有、稀土和贵金属的选冶工艺、湿法冶金单元过程、设备、材料、萃取剂、离子交换树脂、絮凝剂、自动控制、仪器仪表、综合利用、三废治理、环境保护、分析方法等方面的新进展、科技成果和先进技术。此外,还报道有关科技简讯、文献综述等。

《湿法冶金》可供从事金属选矿、湿法冶金、化学化工、稀有、稀土和有色金属的综合回收、分析测试和环境保护等科研、设计、生产人员及大专院校有关专业师生参阅。

《湿法冶金》创刊于1982年,刊号CN 11-3012/TF,由核工业北京化工冶金研究院《湿法冶金》编辑部出版、发行。本刊为季刊,每期72~76页,1997年定价3.00元/期。凡欲订阅单位和个人请直接与编辑部联系索取订单。

地址: 北京234信箱《湿法冶金》编辑部, 邮政编码: 101149, 电话: (010) 65762996—4348。